

1. Правила Фейнмана в КЕД

Для вільного поля Дірака генеруючий функціонал має вигляд

$$Z_0(\bar{\eta}, \eta) = N \int \mathcal{D}\Psi \mathcal{D}\bar{\Psi} \exp \left\{ i \int d^4x [\bar{\Psi}(x)(i\hat{\partial}_x - m)\Psi(x) + \bar{\eta}\Psi + \bar{\Psi}\eta] \right\}, \quad (1.1)$$

де нормуючий множник

$$N^{-1} = \int \mathcal{D}\Psi \mathcal{D}\bar{\Psi} \exp \left\{ i \int d^4x [\bar{\Psi}(x)(i\hat{\partial}_x - m)\Psi(x)] \right\} = \text{Det}(i\hat{\partial} - m).$$

Здійснюючи інтегрування по грасмановим змінним, отримуємо

$$Z_0(\bar{\eta}, \eta) = \exp \{-i\bar{\eta}[i\hat{\partial} - m]^{-1}\eta\} = \exp \left\{ -i \int d^4x d^4y \bar{\eta}(x) S(x-y) \eta(y) \right\}, \quad (1.2)$$

де

$$\langle x | \frac{1}{i\gamma^\mu \partial_\mu - m} | y \rangle \equiv S(x-y) = \int \frac{d^4p}{(2\pi)^4} \frac{e^{-ip(x-y)}}{\hat{p} - m + i\varepsilon}. \quad (1.3)$$

З одного боку друга похідна функціоналу є

$$\left. \frac{\delta^2 Z_0(\bar{\eta}, \eta)}{\delta \bar{\eta}(x) \delta \eta(y)} \right|_{\bar{\eta}=\eta=0} = \langle 0 | T\Psi(x)\bar{\Psi}(y) | 0 \rangle \equiv \overline{\Psi(x)\bar{\Psi}(y)}, \quad (1.4)$$

а з іншого, обчислюючи безпосередньо варіаційні похідні Z_0 в (1.2), знаходимо співвідношення

$$\langle 0 | T\Psi(x)\bar{\Psi}(y) | 0 \rangle = iS(x-y). \quad (1.5)$$

Тоді можна записати

$$Z_0(\bar{\eta}, \eta) = \exp \left[- \int d^4x d^4y \bar{\eta}(x) \langle 0 | T\Psi(x)\bar{\Psi}(y) | 0 \rangle \eta(y) \right]. \quad (1.6)$$

Обчислимо 4-х точкову функцію Гріна

$$\left. \frac{\delta^4 Z_0(\bar{\eta}, \eta)}{\delta \bar{\eta}(x_1) \delta \bar{\eta}(x_2) \delta \eta(x_3) \delta \eta(x_4)} \right|_{\bar{\eta}=\eta=0} = \langle 0 | T\Psi(x_1)\Psi(x_2)\bar{\Psi}(x_3)\bar{\Psi}(x_4) | 0 \rangle. \quad (1.7)$$

Обчислюючи варіаційні похідні Z_0 , знаходимо:

$$\begin{aligned} \langle 0 | T\Psi(x_1)\Psi(x_2)\bar{\Psi}(x_3)\bar{\Psi}(x_4) | 0 \rangle &= -\langle 0 | T\Psi(x_1)\bar{\Psi}(x_3) | 0 \rangle \langle 0 | T\Psi(x_2)\bar{\Psi}(x_4) | 0 \rangle \\ &+ \langle 0 | T\Psi(x_1)\bar{\Psi}(x_4) | 0 \rangle \langle 0 | \Psi(x_2)\bar{\Psi}(x_3) | 0 \rangle \\ &= -\overbrace{\Psi(x_1)}^{\square}\bar{\Psi}(x_3)\overbrace{\Psi(x_2)}^{\square}\bar{\Psi}(x_4) + \overbrace{\Psi(x_1)}^{\square}\bar{\Psi}(x_4)\overbrace{\Psi(x_2)}^{\square}\bar{\Psi}(x_3). \end{aligned} \quad (1.8)$$

Це є теорема Віка для ферміонних подів (з врахуванням знаків для ферміонов). Звернемо увагу, що немає спарювань типу $\Psi\Psi$ або $\bar{\Psi}\bar{\Psi}$ внаслідок відсутності відповідних квадратичних доданків в лагранжіані. Це є вірним для квантової електродинаміки, але такі спарювання можливі в інших теоріях, наприклад, в теорії надпровідності.

Генеруючий функціонал в КЕД в довільній коваріантній калібровці є:

$$Z(J_\mu, \bar{\eta}, \eta) = N \int \mathcal{D}A_\mu \mathcal{D}\Psi \mathcal{D}\bar{\Psi} \exp \left\{ i \int d^4x \left[-\frac{1}{4}F_{\mu\nu}^2 - \frac{1}{2\xi}(\partial^\mu A_\mu)^2 \right. \right. \\ \left. \left. + \bar{\Psi}(i\gamma^\mu D_\mu - m)\Psi + J_\mu A^\mu + \bar{\eta}\Psi + \bar{\Psi}\eta \right] \right\}, \quad (1.9)$$

де коваріантна похідна $D_\mu = \partial_\mu + ieA_\mu$ і N — відповідний нормуючий множник. В лагранжіані виділимо квадратичну по полям частину, і частину, що відповідає за взаємодію $\mathcal{L} = \mathcal{L}_0 - eA_\mu\bar{\Psi}\gamma^\mu\Psi$. Квадратична частина для калібрувального поля має вигляд

$$\begin{aligned} &\int d^4x \left[\frac{1}{4}(\partial_\mu A_\nu - \partial_\nu A_\mu)^2 + \frac{1}{2\xi}(\partial^\mu A_\mu)^2 \right] \\ &= \int d^4x \left[-\frac{1}{2}\partial_\mu A_\nu \partial^\mu A^\nu + \frac{1}{2}\partial_\mu A_\nu \partial^\nu A^\mu - \frac{1}{2\xi}\partial^\mu A_\mu \partial^\nu A_\nu \right] \\ &= \frac{1}{2} \int d^4x \left[A_\nu \square A^\nu - A_\nu \partial_\mu \partial^\nu A^\mu + \frac{1}{\xi}A_\mu \partial^\mu \partial^\nu A_\nu \right] \\ &= \frac{1}{2} \int d^4x A_\mu \left[g^{\mu\nu} \square - \left(1 - \frac{1}{\xi} \right) \partial^\mu \partial^\nu \right] A_\nu \\ &\equiv \frac{1}{2} \int d^4x d^4y A_\mu(x) (D_0^{-1})^{\mu\nu}(x-y) A_\nu(y), \end{aligned} \quad (1.10)$$

де очевидно

$$(D_0^{-1})^{\mu\nu}(x-y) = \left[g^{\mu\nu} \square - \left(1 - \frac{1}{\xi}\right) \partial^\mu \partial^\nu \right]_x \delta(x-y). \quad (1.11)$$

Повний фотонний пропагатор

$$\frac{\delta^2 Z}{i\delta J_\mu(x)i\delta J_\nu(y)} \Big|_{J=\bar{\eta}=\eta=0} = \langle 0 | T A_\mu(x) A_\nu(y) | 0 \rangle.$$

Нехай $D_0^{\mu\nu}(x-y)$ задовольняє рівнянню

$$\left[g^{\mu\nu} \square_x - \left(1 - \frac{1}{\xi}\right) \partial_x^\mu \partial_x^\nu \right] D_{0\nu\lambda}(x-y) = \delta_\lambda^\mu \delta(x-y). \quad (1.12)$$

В імпульсному просторі маємо матричне рівняння

$$\left[-g^{\mu\nu} k^2 + \left(1 - \frac{1}{\xi}\right) k^\mu k^\nu \right] D_{0\nu\lambda}(k) = \delta_\lambda^\mu, \quad (1.13)$$

розв'язком якого є

$$D_{0\nu\lambda}(k) = -\frac{1}{k^2} \left(g_{\nu\lambda} - \frac{k_\nu k_\lambda}{k^2} \right) - \xi \frac{k_\nu k_\lambda}{k^4}. \quad (1.14)$$

Генеруючий функціонал для вільного електромагнітного поля:

$$\begin{aligned} Z_0(J_\mu) &= N \int \mathcal{D}A_\mu \exp \left\{ i \int d^4x \left[-\frac{1}{4} F_{\mu\nu}^2 + J_\mu A^\mu - \frac{1}{2\xi} (\partial^\mu A_\mu)^2 \right] \right\} \\ &= \exp \left\{ -\frac{i}{2} \int d^4x d^4y J_\mu(x) D_0^{\mu\nu}(x-y) J_\nu(y) \right\}. \end{aligned} \quad (1.15)$$

Тоді для вільного поля маємо

$$\langle 0 | T A_\mu(x) A_\nu(y) | 0 \rangle = \frac{\delta^2 Z_0}{i\delta J_\mu(x)i\delta J_\nu(y)} = i D_0^{\mu\nu}(x-y), \quad (1.16)$$

і для функціоналу $Z_0(J)$:

$$Z_0(J) = \exp \left\{ -\frac{1}{2} \int d^4x d^4y J^\mu(x) \langle 0 | T A_\mu(x) A_\nu(y) | 0 \rangle J^\nu(y) \right\}. \quad (1.17)$$

Поставимо у відповідність вакуумним середнім $\langle 0|T\Psi\bar{\Psi}|0\rangle$ і $\langle 0|TA_\mu A_\nu|0\rangle$ лінії

$$\begin{array}{c} \text{---} \\ \bullet \quad \bullet \\ y \qquad x \end{array} = \int \frac{d^4 p}{(2\pi)^4} \frac{i e^{-ip(x-y)}}{\hat{p} - m + i\varepsilon} = \langle 0|T\Psi(x)\bar{\Psi}(y)|0\rangle, \quad (1.18)$$

$$\begin{array}{c} \text{---} \\ \bullet \quad \bullet \\ x \qquad y \end{array} = \langle 0|TA_\mu(x)A_\nu(y)|0\rangle = \int \frac{d^4 k}{(2\pi)^4} \frac{e^{-ik(x-y)}}{ik^2} \left[g_{\mu\nu} - (1-\xi) \frac{k_\mu k_\nu}{k^2} \right]. \quad (1.19)$$

Лінії показують рух частинок (електронів і фотонів) з точки y в точку x .

Для ферміонного пропагатора стрелка на лінії означає, що електрон народжується в точці y , рухається в точку x , де він зникає. Це у відповідності з тим, що оператор $\bar{\Psi}(y)$ містить оператор народження електрона, а оператор $\Psi(x)$ — оператор знищення електрона. Звісно, можна казати, що ферміонний пропагатор описує рух позітрона з точки x в точку y , тоді стрелка буде мати зворотній напрям. Це справа угоди (convention), який напрямок вказувати на ферміонній лінії. Для фотонного пропагатора стрелка звичайно не вказується, тому що оператор фотонного поля A_μ містить оператори народження і знищення фотона.

Вершині співставимо точку

$$\begin{array}{c} \text{---} \\ \bullet \\ x \end{array} \quad \begin{array}{c} \text{---} \\ \bullet \\ \text{---} \end{array} = -ie\gamma_\mu \int d^4 x. \quad (1.20)$$

По координатам вершин проводяться інтегрування. Чудово, що симетрійні коефіцієнти в КЕД дорівнюють 1 для всіх діаграм, крім вакуумних.

В імпульсному просторі співставляємо:

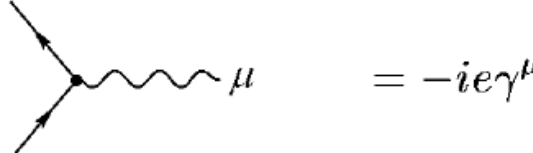
1. ферміонному пропагатору

$$\begin{array}{c} \text{---} \\ \beta j \quad p \quad \alpha i \end{array} = \frac{i}{\hat{p} - m + i\varepsilon}, \quad (1.21)$$

2. фотонному пропагатору

$$\sim \sim \sim = \frac{1}{i(k^2 + i\epsilon)} \left(g_{\mu\nu} - (1 - \xi) \frac{k_\mu k_\nu}{k^2 + i\epsilon} \right), \quad (1.22)$$

3. вершині



$$= -ie\gamma^\mu \quad . \quad (1.23)$$

4. Множник (-1) для кожної ферміонної петлі (появу цього множника пояснимо трохи пізніше).

1.1. Фейнмановські правила в квантовій хромодинаміці

Лагранжева густина квантової хромодинаміки в коваріантній калібровці має вигляд

$$\mathcal{L} = -\frac{1}{4}F_{\mu\nu}^a F^{a\mu\nu} - \frac{1}{2\xi}(\partial_\mu A^{a\mu})^2 - \bar{\eta}^a \partial^\mu D_\mu^{ab} \eta^b + \bar{\Psi}_i^\alpha (i\gamma^\mu D_\mu^{\alpha\beta} - m_i) \Psi_i^\beta, \quad (1.24)$$

де тензор напруженості

$$F_{\mu\nu}^a = \partial_\mu A_\nu^a - \partial_\nu A_\mu^a - gf^{abc} A_\mu^b A_\nu^c, \quad (1.25)$$

і коваріантні похідні

$$D_\mu^{ab} = \partial_\mu \delta^{ab} + gf^{abc} A_\mu^c, \quad (1.26)$$

$$D_\mu^{\alpha\beta} = \partial_\mu \delta^{\alpha\beta} + ig A_\mu^a (T^a)^{\alpha\beta}. \quad (1.27)$$

Для кольорової групи $SU(3)$ індекси пробігають значення: $\alpha, \beta = 1, 2, 3$ і $a, b, c = 1, \dots, 8$. Розіб'ємо лагранжеву густину на дві частини $\mathcal{L} = \mathcal{L}_0 +$

\mathcal{L}_{int} , де \mathcal{L}_0 — квадратична частина, яка визначає пропагатори теорії. Приймаючи до уваги, що

$$F_{\mu\nu}^a F^{a\mu\nu} = (\partial_\mu A_\nu^a - \partial_\nu A_\mu^a)^2 - 4g f^{abc} \partial_\mu A_\nu^a A_\mu^b A_\nu^c + g^2 f^{abc} f^{ade} A_\mu^b A_\nu^c A_\mu^d A_\nu^e, \quad (1.28)$$

квадратична частина лагранжіана квантової хромодинаміки запишеться

$$\mathcal{L}_0 = -\frac{1}{4}(\partial_\mu A_\nu^a - \partial_\nu A_\mu^a)^2 - \frac{1}{2\xi}(\partial_\mu A^{a\mu})^2 - \bar{\eta}^a \partial^\mu \partial_\mu \eta^a + \bar{\Psi}_i^\alpha (i\gamma^\mu \partial_\mu - m_i) \Psi_i^\alpha. \quad (1.29)$$

Для взаємодії \mathcal{L}_{int} маємо:

$$\begin{aligned} \mathcal{L}_{int} = & g f^{abc} \partial_\mu A_\nu^a A^{\mu b} A^{\nu c} - \frac{g^2}{4} (f^{abc} A_\mu^b A_\nu^c) (f^{ade} A^{\mu d} A^{\nu e}) \\ & - g \bar{\eta}^a \partial^\mu (f^{abc} A_\mu^c \eta^b) - g \bar{\Psi}_i^\alpha \gamma^\mu A_\mu^a (T^a)^{\alpha\beta} \Psi_i^\beta. \end{aligned} \quad (1.30)$$

Запишемо

$$\exp i \int d^4x \mathcal{L}_0(x) = \exp \left\{ - \int d^4x \left[-\frac{i}{2} A_\mu^a \delta^{ab} \left(\square g^{\mu\nu} - \left(1 - \frac{1}{\xi} \right) \partial^\mu \partial_\nu \right) A_\nu^b \right. \right. \\ \left. \left. + i \bar{\eta}^a \delta^{ab} \square \eta^b - i \bar{\Psi}_i^\alpha (i\gamma^\mu \partial_\mu - m_i) \Psi_i^\alpha \right] \right\}. \quad (1.31)$$

Пропагатори є оберненими до диференціальних операторів в квадратичній формі в експоненті. Для пропагаторів глюонів, кварків і духів знаходимо, відповідно:

$$\langle 0 | T A_\mu^a(x) A_\nu^b(y) | 0 \rangle = \int \frac{d^4 p}{(2\pi)^4} e^{-ip(x-y)} \delta^{ab} \left[\frac{1}{ip^2} \left(g_{\mu\nu} - (1-\xi) \frac{p_\mu p_\nu}{p^2} \right) \right], \quad (1.32)$$

$$\langle 0 | T \Psi_{i\alpha}(x) \bar{\Psi}_{j\beta}(y) | 0 \rangle = \int \frac{d^4 p}{(2\pi)^4} e^{-ip(x-y)} \frac{i}{\hat{p} - m} \delta_{\alpha\beta} \delta_{ij}, \quad (1.33)$$

$$\langle 0 | T \eta^a(x) \bar{\eta}^b(y) | 0 \rangle = \int \frac{d^4 p}{(2\pi)^4} e^{-ip(x-y)} \delta^{ab} \frac{i}{p^2}. \quad (1.34)$$

В імпульсному просторі пропагаторам співставляються лінії:

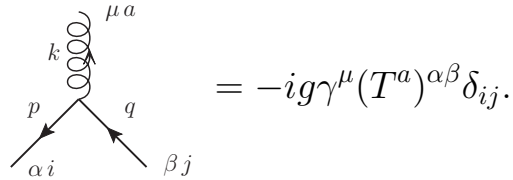
$$\begin{array}{c} \text{ooooooo} \\ \mu a \quad p \quad b \nu \end{array} = \frac{\delta^{ab}}{ip^2} \left(g_{\mu\nu} - (1 - \xi) \frac{p_\mu p_\nu}{p^2} \right), \quad (1.35)$$

$$\begin{array}{c} \xrightarrow{\beta j} \quad p \quad \xrightarrow{\alpha i} \\ \hline \end{array} = \frac{i\delta^{\alpha\beta}\delta_{ij}}{\hat{p} - m}. \quad (1.36)$$

$$\begin{array}{c} \xrightarrow{\beta j} \quad p \quad \xrightarrow{\alpha i} \\ \hline \end{array} = \frac{i\delta^{ab}}{p^2}. \quad (1.37)$$

По домовленості ферміонні лінії направляємо від $\bar{\Psi}$ к Ψ і від $\bar{\eta}$ к η .

Доданок \mathcal{L}_{int} , що відповідає за взаємодію, дає вершини. Для кварк-глюонної вершини в імпульсному просторі маємо



$$= -ig\gamma^\mu(T^a)^{\alpha\beta}\delta_{ij}. \quad (1.38)$$

У вершині стоять матриці, які діють на спінорні, кольорові і ароматні індекси кварків. Закон збереження 4-х імпульсів у вершині вимагає, щоб сума імпульсів, які входять дорівнює сумі імпульсів, які виходять.

Розглянемо вершину взаємодії глюонів з духами. В дії iS для доданку

$$ig \int d^4x (\partial^\mu \bar{\eta}^a(x)) f^{abc} A_\mu^c(x) \eta^b(x) \quad (1.39)$$

виконуємо Фурье-перетворення для полів

$$\begin{aligned} & ig \int d^4x \left(\partial_x^\mu \int \frac{d^4p}{(2\pi)^4} e^{ipx} \bar{\eta}^a(p) \right) f^{abc} \int \frac{d^4k}{(2\pi)^4} e^{ikx} A_\mu^c(k) \int \frac{d^4q}{(2\pi)^4} e^{-iqx} \eta^b(q) \\ &= \int \frac{d^4p d^4k d^4q}{(2\pi)^{12}} (-gp^\mu) f^{abc} \bar{\eta}^a(p) A_\mu^c(k) \eta^b(q) (2\pi)^4 \delta(p + k - q). \end{aligned} \quad (1.40)$$

Для вершини взаємодії глюонів з духами в імпульсному просторі маємо

$$-g f^{abc} p_\mu (2\pi)^4 \delta(p + k - q). \quad (1.41)$$

Оскільки $\bar{\eta}^a(p)$ відповідає духовій лінії, яка входить, то саме вона переносить імпульс, виникаючий при диференціюванні, що іноді позначається крапкою біля цієї лінії. Графічне зображення цієї вершини дивись на Рис.1.42.

$$-g f^{abc} p_\mu (2\pi)^4 \delta(p + k - q). \quad (1.42)$$

Розглянемо тепер потрійну вершину взаємодії глюонів, де також зробимо Фурье-перетворення для полів:

$$\begin{aligned} ig f^{abc} \int d^4x \partial_\mu A_\nu^a A^{\mu b} A^{\nu c} &= ig f^{abc} \int d^4x \left(\partial_\mu^x \int \frac{d^4k}{(2\pi)^4} e^{ikx} A_\nu^c(k) \right) \\ &\times \int \frac{d^4p}{(2\pi)^4} e^{ipx} A^{\mu b}(p) \int \frac{d^4q}{(2\pi)^4} e^{iqx} A^{\nu c}(q) \\ &= -g f^{abc} \int \frac{d^4k d^4p d^4q}{(2\pi)^{12}} k_\mu \delta^{\nu\lambda} A_\nu^a(k) A^{\mu b}(p) A^{\nu c}(q) (2\pi)^4 \delta(k + p + q). \end{aligned} \quad (1.43)$$

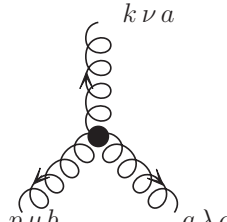
Виконаємо симетрізацію по індексам $(k, a, \nu), (p, b, \mu), (q, c, \lambda)$, використовуючи той факт що вираз (1.43) не змінюється при таких замінах:

$$\begin{aligned} f^{abc} k_\mu \delta_{\nu\lambda} &\Rightarrow \frac{1}{2} [f^{abc} k_\mu \delta_{\nu\lambda} + f^{bac} p_\nu \delta_{\mu\lambda}] \\ &\Rightarrow \frac{1}{2} [f^{cba} q_\mu \delta_{\lambda\nu} + f^{bca} p_\lambda \delta_{\mu\nu}] \\ &\Rightarrow \frac{1}{2} [f^{acb} k_\lambda \delta_{\nu\mu} + f^{cab} q_\nu \delta_{\lambda\mu}]. \end{aligned} \quad (1.44)$$

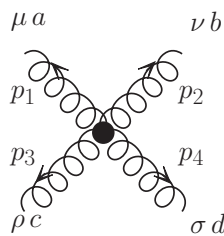
При отриманні первого виразу ми зробили симетрізацію по індексам $(k, a, \nu) \Leftrightarrow (p, b, \mu)$, потім для отримання другого виразу з первого — заміну $(k, a, \nu) \Rightarrow (q, c, \lambda)$, і третього виразу з первого — $(p, b, \mu) \Rightarrow (q, c, \lambda)$. Складаючи ці вирази і ділячи на три отримуємо в інтегралі (1.43) фактор

$$-\frac{g}{3!} f^{abc} [(k - q)_\mu \delta_{\nu\lambda} + (p - k)_\lambda \delta_{\mu\nu} + (q - p)_\nu \delta_{\lambda\mu}] (2\pi)^4 \delta(p + k + q). \quad (1.45)$$

Тут ми вибрали всі імпульси, які виходять. Для трьох- і чотирьохглюонних вершин маємо вирази



$$-g f^{abc} [(k-q)_\mu g_{\nu\lambda} + (q-p)_\nu g_{\lambda\mu} + (p-k)_\lambda g_{\mu\nu}] (2\pi)^4 \delta(p+k+q), \quad (1.46)$$



$$\begin{aligned} &= -ig^2 [f^{abc} f^{cde} (g^{\mu\rho} g^{\nu\sigma} - g^{\mu\sigma} g^{\nu\rho}) \\ &\quad + f^{ace} f^{bde} (g^{\mu\nu} g^{\rho\sigma} - g^{\mu\sigma} g^{\nu\rho}) \\ &\quad + f^{ade} f^{bce} (g^{\mu\nu} g^{\rho\sigma} - g^{\mu\rho} g^{\nu\sigma})] (2\pi)^4 \delta(p_1 + p_2 + p_3 + p_4). \end{aligned} \quad (1.47)$$

Графічне зображення приведено в (1.46) і (1.47).

При практичних обчисленнях встановлені вище правила необхідно додати:

1. Інтегрування по нефікованим імпульсам з мірою $\int \frac{d^4 k}{(2\pi)^4}$.
2. Фактори симетрії.
3. Множники (-1) для кожної духової і ферміонної петлі.